



Universidade de Brasília
Departamento de Engenharia Elétrica
Controle Digital

Exercício de Simulação 3

Aluno:
Arthur de Matos Beggs ————— 12/0111098

Brasília
2º/2020

Considere o sistema de controle a tempo discreto mostrado na Figura 1, cujo período de amostragem é $T = 0.2s$.

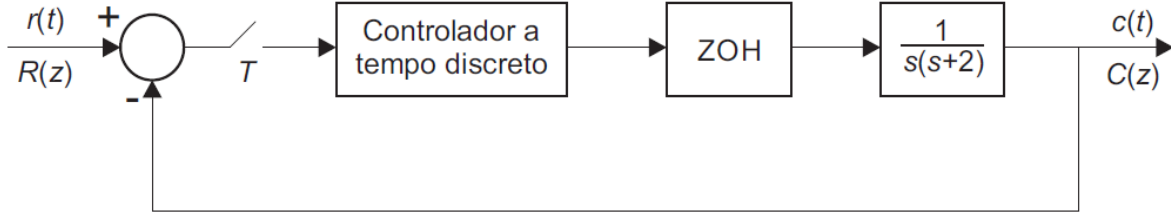


Figura 1: Diagrama do sistema.

1. Usando a técnica do LGR, projete no plano z um controlador de modo que os polos dominantes de malha fechada tenham um fator de amortecimento $\zeta = 0.5$ e tempo de acomodação $t_s = 2s$:

$$G_p(s) = G_{h0}(s) \times \frac{1}{s(s+2)}$$

$$G_p(z) = \mathcal{Z} \left\{ G_{h0}(s) \times \frac{1}{s(s+2)} \right\} = (1 - z^{-1}) \mathcal{Z} \left\{ \frac{1}{s^2(s+2)} \right\}$$

Com o auxílio do Matlab,

```

» T = 0.2;
» s = tf('s');
» z = tf('z', T);
» Gp_s = zpk([], [0 -2], [1]);
» Gp_z = c2d(Gp_s, T, 'zoh')

```

$$G_p(z) = \frac{0.01758(z + 0.8753)}{(z - 1)(z - 0.6703)}$$

Temos que $t_s = \frac{4}{\zeta\omega_n}$, e dado que $t_s = 2s$ e $\zeta = 0.5$,

$$\omega_n = \frac{4}{t_s\zeta} = 4 \text{ rad/s}$$

$$\omega_d = \omega_n \sqrt{1 - \zeta^2} = 3.4641 \text{ rad/s}$$

Com $z = e^{sT} = e^{-\zeta\omega_n T} e^{j\omega_d T}$,

$$|z| = e^{-\zeta\omega_n T} = 0.6703$$

$$\angle z = \omega_d T = 39.6957^\circ$$

O par de polos complexos conjugados dominantes desejado pode ser encontrado por

$$z_{dom} = |z|(\cos(\angle z) \pm j \sin(\angle z)) = 0.5158 \pm j0.4281$$

O LGR do sistema não controlado apresentado na Figura 2 foi obtido no Matlab usando os comandos

```
» hold on
» rlocus(Gp_z)
» plot(real(z_dom), imag(z_dom), 'r*', real(z_dom), -imag(z_dom), 'r*')
```

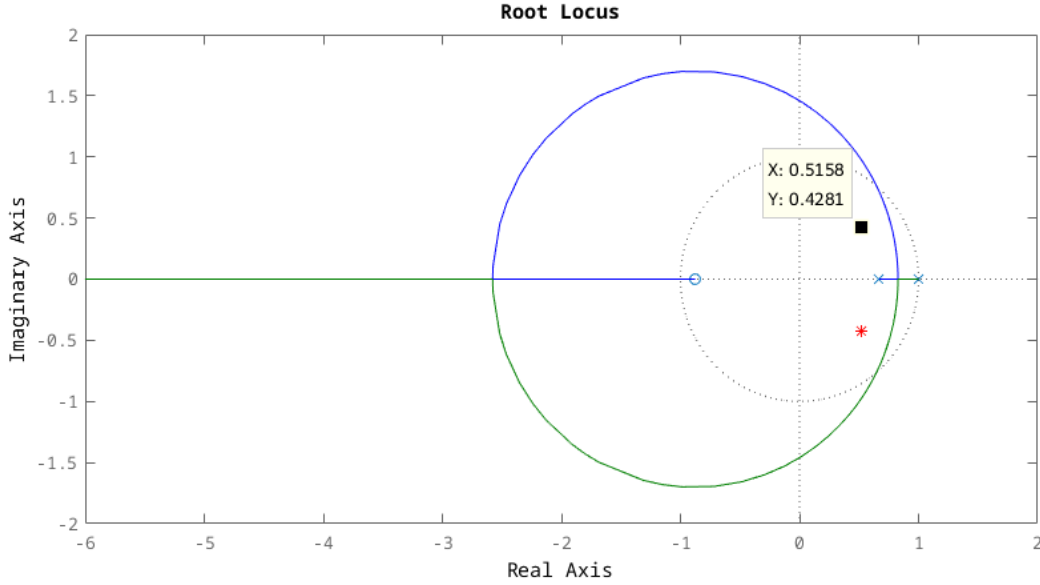


Figura 2: LGR do sistema $G_p(z)$, com os polos dominantes de malha fechada representados por um asterisco vermelho e pelo *data cursor* do Matlab.

Pelo gráfico, o polo dominante desejado não faz parte do LGR do sistema. A condição de fase é utilizada para encontrar a contribuição angular que o controlador deve fornecer.

O controlador projetado terá a forma $G_c(z) = K_c \frac{z - z_c}{z - p_c}$.

Como o a planta discretizada possui dois polos e um zero finito, o controlador fará o cancelamento do polo $z \neq 1$.

$$\begin{aligned} \angle G_p(z) &= \arctan\left(\frac{0.4281}{0.5158 + 0.8753}\right) - \left(180^\circ - \arctan\left(\frac{0.4281}{1 - 0.5158}\right)\right) \\ &\quad - \left(180^\circ - \arctan\left(\frac{0.4281}{0.6703 - 0.5158}\right)\right) + \left(180^\circ - \arctan\left(\frac{0.4281}{0.6703 - 0.5158}\right)\right) \end{aligned}$$

$$\angle G_p(z) = 121.4106^\circ \neq 180^\circ \pm 360^\circ i$$

Assim, o polo do controlador precisa contribuir com $180^\circ - 121.4106^\circ = 58.5893^\circ$.

$$\tan(58.5893^\circ) = \frac{0.4281}{0.5158 - p_c} \implies p_c = -\frac{0.4281}{\tan(58.5893^\circ)} + 0.5158 = 0.2543$$

O controlador projetado é dado por

$$G_c(z) = K_c \frac{z - 0.6703}{z - 0.2543} \quad ,$$

onde K_c é o ganho do controlador.

A função de transferência de malha aberta do sistema controlado é dada por

$$G_s(z) = G_c(z) \times G_p(z) = \frac{0.01758 K_c (z + 0.8753)}{(z - 1)(z - 0.2543)}$$

O LGR do sistema $G_s(z)$ apresentado na Figura 3 foi obtido no Matlab usando os comandos

```
» Gc_z = zpk([0.6703], [0.2543], [1], T);
» Gs_z = Gc_z * Gp_z
» hold on
» rlocus(Gs_z)
» plot(real(z_dom), imag(z_dom), 'r*', real(z_dom), -imag(z_dom), 'r*')
```

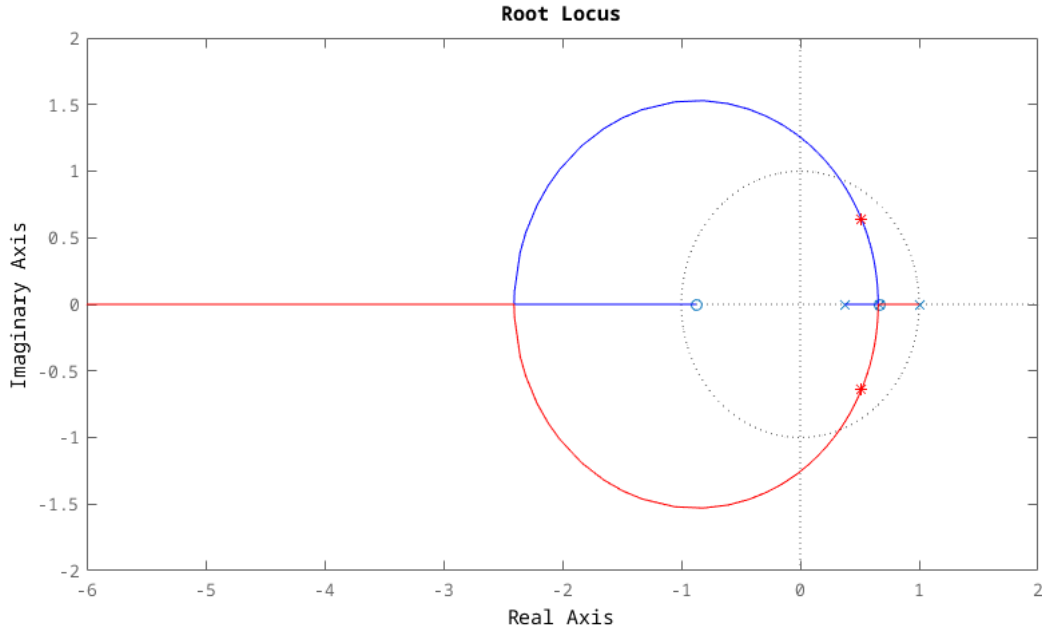


Figura 3: LGR do sistema $G_s(z)$, com os polos dominantes de malha fechada representados por asteriscos vermelhos fazendo parte do LGR.

Para encontrar o ganho K_c do controlador, a condição de módulo é utilizada. Assim,

$$|G_s(z)|_{z=0.5158+j0.4281} = \frac{0.01758 K_c |z + 0.8753|}{|z - 1| |z - 0.2543|} = 1$$

$$\Rightarrow K_c = \frac{|z - 1| |z - 0.2543|}{0.01758 |z + 0.8753|} \bigg|_{z=0.5158+j0.4281} = 12.6722$$

$$G_c(z) = \frac{12.6722(z - 0.6703)}{(z - 0.2543)}; \quad G_s(z) = \frac{0.22278(z + 0.8753)}{(z - 1)(z - 0.2543)}$$

2. Obtenha computacionalmente a resposta ao degrau unitário do sistema em malha fechada. Verifique se os requisitos de projeto foram satisfeitos:

A resposta do sistema em malha fechada a uma entrada degrau unitário é apresentada na Figura 4 foi obtida no Matlab usando o comando

```
» step(feedback(Gs_z,1))
```

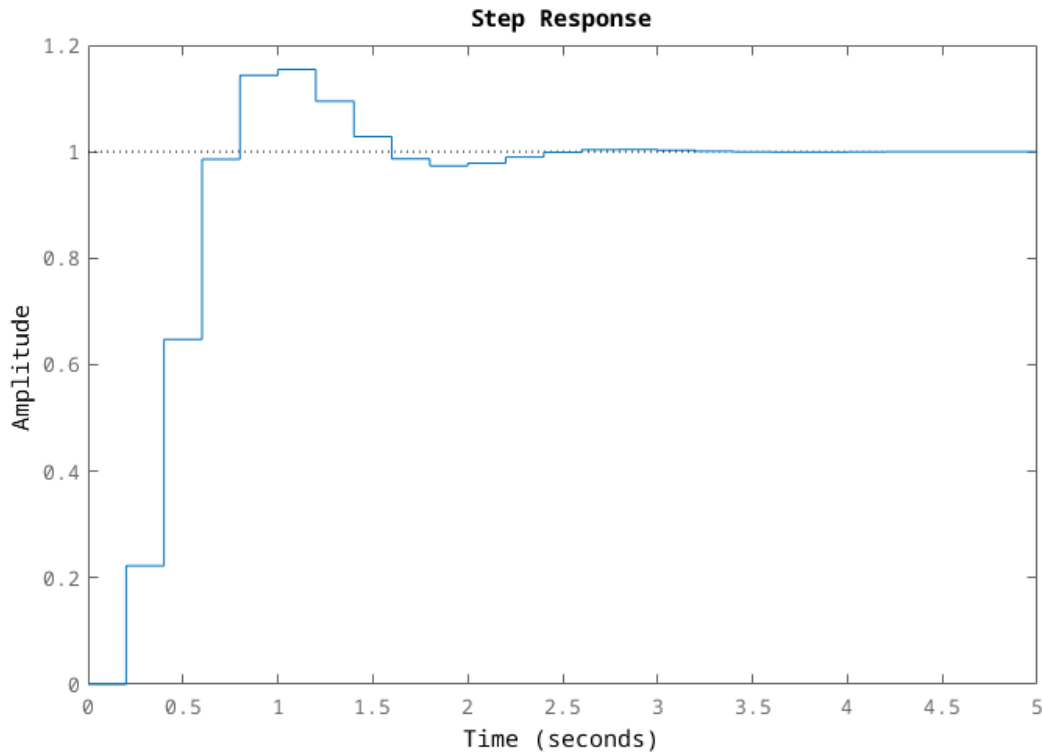


Figura 4: Resposta do sistema em malha fechada a uma entrada degrau unitário.

Os parâmetros da resposta foram obtidos pelo comando

```
» stepinfo(feedback(Gs_z,1))  
RiseTime: 0.400000000000000  
SettlingTime: 2.200000000000000  
SettlingMin: 0.973504789254130  
SettlingMax: 1.154551426500324  
Overshoot: 15.455142650032405  
Undershoot: 0  
Peak: 1.154551426500324  
PeakTime: 1
```

Verificando os parâmetros de resposta, o tempo de acomodação t_s foi de 2.2 s, apenas um período de amostragem além do desejado. Para verificar se o requisito do coeficiente de amortecimento $\zeta = 0.5$ foi atendido, o *overshoot* será utilizado.

$$\zeta = \frac{-\log\left(\frac{\text{overshoot}}{100}\right)}{\sqrt{\pi^2 + \log^2\left(\frac{\text{overshoot}}{100}\right)}} = \frac{-\log\left(\frac{15.4551}{100}\right)}{\sqrt{\pi^2 + \log^2\left(\frac{15.4551}{100}\right)}} = 0.5109$$

O resultado do projeto se aproxima satisfatoriamente dos requisitos.

3. Obtenha computacionalmente a resposta à rampa unitária do sistema em malha fechada. Determine o valor do erro estacionário:

A resposta do sistema em malha fechada a uma entrada rampa unitária apresentada na Figura 5 e seus dados brutos foram obtidos pelos comandos

```
» time = (0 : T : 10);
» ramp_output = lsim(feedback(Gs_z, 1), time, time);
» lsim(feedback(Gs_z, 1), time, time)
```

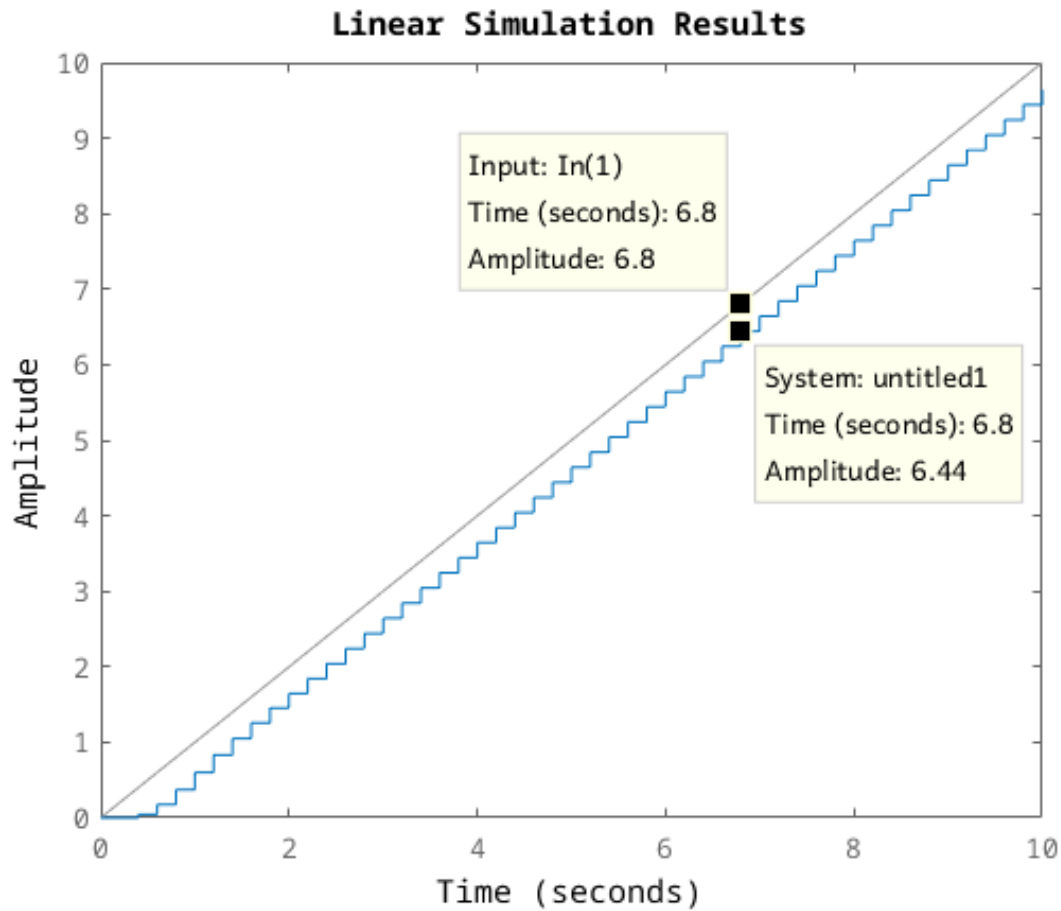


Figura 5: Resposta do sistema em malha fechada a uma entrada rampa unitária.

O erro estacionário e_{ss} pode ser encontrado por

$$e_{ss} = \lim_{z \rightarrow 1} (1 - z^{-1}) \frac{1}{1 + G_s(z)} \times \frac{Tz^{-1}}{(1 - z^{-1})^2} = \frac{1}{K_v}$$

$$K_v = \frac{1}{T} \lim_{z \rightarrow 1} (1 - z^{-1}) G_s(z) = \frac{1}{T} \lim_{z \rightarrow 1} (1 - z^{-1}) \times \frac{0.22278(z + 0.8753)}{(z - 1)(z - 0.2543)}$$

$$K_v = 2.8012; \quad e_{ss} = \frac{1}{K_v} = 0.3569$$

Para obter computacionalmente o erro estacionário, o período anterior ao tempo de acomodação foi ignorado, e foi tomada a média das diferenças entre o sinal da rampa unitária e o sinal de saída do sistema.

```
» time_slice = time((step_info.SettlingTime/T) : end);
» ramp_slice = ramp_output((step_info.SettlingTime/T) : end);
» e_ss = mean(arrayfun(@(x,y) x - y, time_slice, ramp_slice.'))
```

Assim, o erro estacionário encontrado computacionalmente é $e_{ss} = 0.3569$, correspondendo ao valor calculado.

- 4. Refaça o projeto de modo que o valor do erro estacionário seja reduzido a um terço do valor anterior e fazendo o LGR passar próximo dos polos dominantes usados no item (1). Obtenha computacionalmente a resposta à rampa unitária do sistema em malha fechada. Verifique se o requisito do erro estacionário foi atingido. Obtenha computacionalmente a resposta ao degrau unitário do sistema em malha fechada. A resposta transitória foi semelhante à do item (1)? Explique a diferença:**

Para diminuir o erro estacionário e_{ss} em um terço, é necessário que a constante K_v seja triplicada. Uma maneira de fazer isso é adicionar um polo e um zero ao controlador com valores próximos um do outro para ter uma contribuição de fase negligenciável, próximos de $z = 1$ e com valores onde $\lim_{z \rightarrow 1} \frac{(z - z_v)}{(z - p_v)} = 3$. Escolhendo

$$G_{c2}(z) = G_c(z) \frac{(z - 0.94)}{(z - 0.98)}$$

$$K_v = \frac{1}{T} \lim_{z \rightarrow 1} (1 - z^{-1}) \times \frac{0.22278(z + 0.8753)}{(z - 1)(z - 0.2543)} \times \frac{(z - 0.94)}{(z - 0.98)} = 8.4037$$

$$e_{ss} = \frac{1}{K_v} = 0.11899$$

O LGR com o novo controlador do sistema $G_s(z)$ apresentado na Figura 6 foi obtido no Matlab usando os comandos

```
» Gc2_z = Gc_z * zpke([0.94], [0.98], [1], T);
» hold on
» rlocus(Gp_z * Gc2_z)
» plot(real(z_dom), imag(z_dom), 'r*', real(z_dom), -imag(z_dom), 'r*')
```

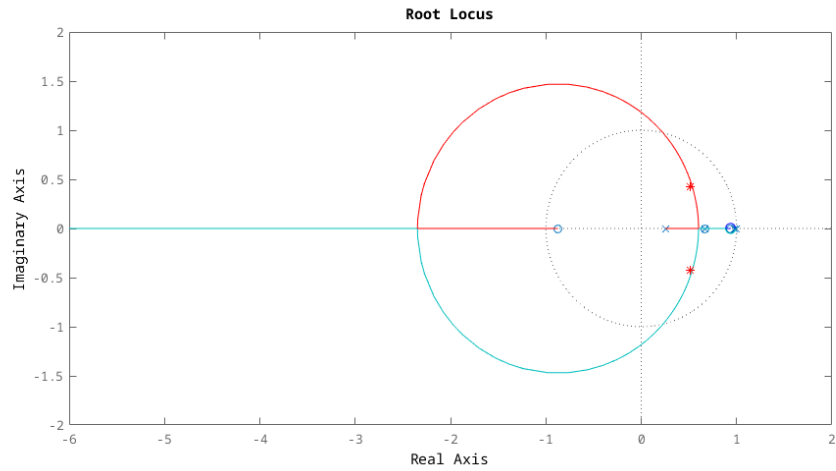


Figura 6: LGR do sistema $G_p(z)G_{c2}(z)$, com os polos dominantes de malha fechada representados por asteriscos vermelhos bem próximos do LGR.

Os polos dominantes de malha fechada ficam muito próximos do LGR com o novo controlador. A resposta à rampa unitária apresentada na Figura 7 e seus dados brutos foram obtidos pelos comandos

```
» time = (0 : T : 10);
» lsim(feedback(Gp_z * Gc2_z, 1), time, time)
» % tempo maior p/ melhorar média
» time_longer = (0 : T : 25);
» ramp_output_new = lsim(feedback(Gp_z * Gc2_z, 1), time_longer, time_longer);
```

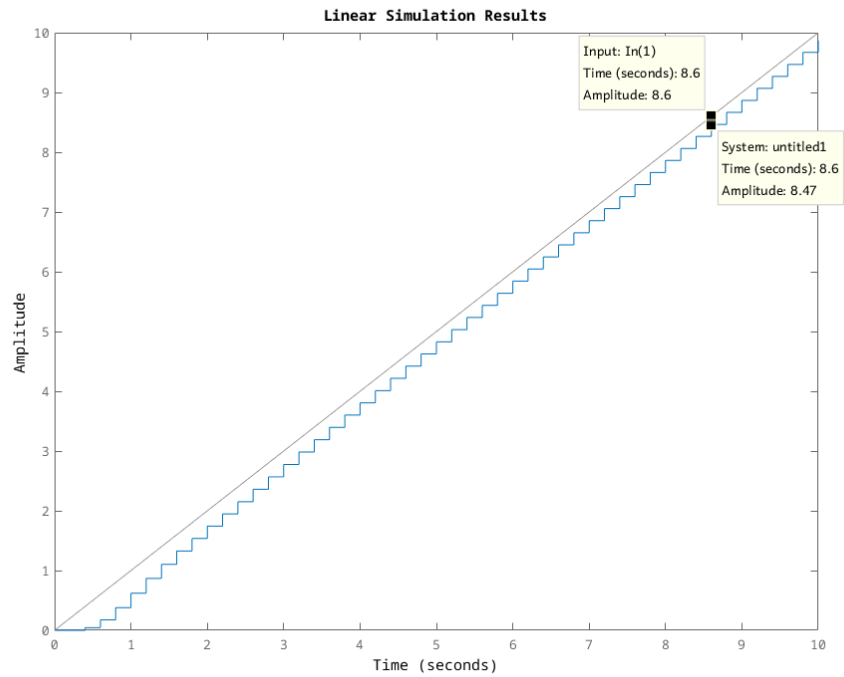



Figura 7: Resposta do sistema com novo controlador em malha fechada a uma entrada rampa unitária.

Pelos *data cursors* o valor do erro estacionário da resposta a uma entrada rampa unitária parece próximo do desejado. A Figura 8 mostra a nova resposta do sistema a uma entrada degrau unitário. O gráfico e os parâmetros da resposta foram obtidos usando os comandos

```
» step(feedback(Gp_z * Gc2_z, 1))
» stepinfo(feedback(Gp_z * Gc2_z, 1))
```

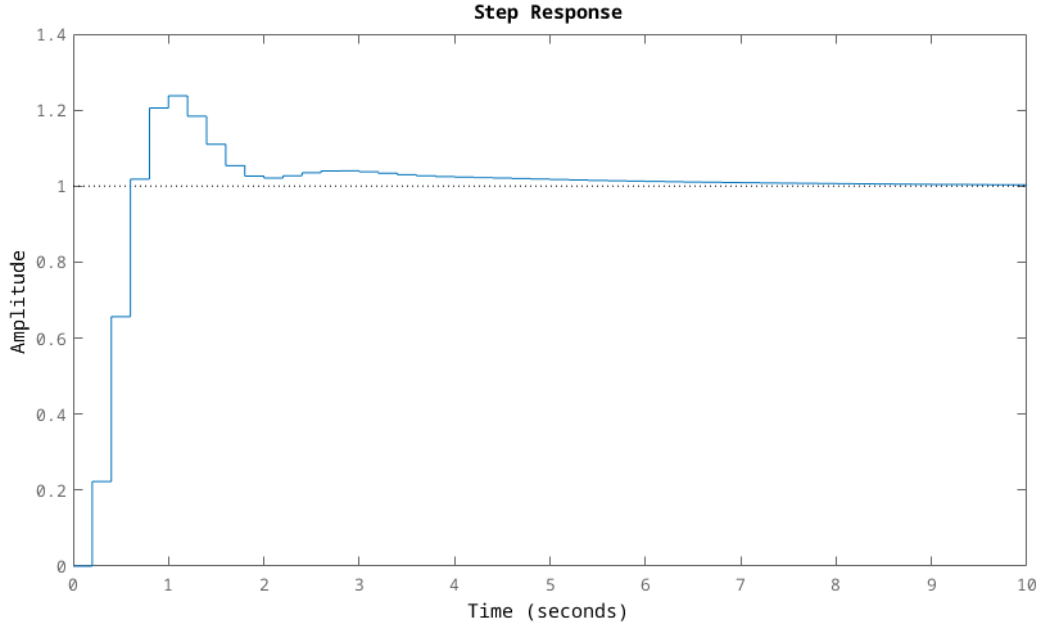


Figura 8: Resposta do sistema com novo controlador em malha fechada a uma entrada degrau unitário.

```

RiseTime: 0.4000000000000000
SettlingTime: 4.600000000000001
SettlingMin: 1.000235449277402
SettlingMax: 1.237606634699172
Overshoot: 23.760663469918232
Undershoot: 0
Peak: 1.237606634699172
PeakTime: 1

```

Pelos valores obtidos para a resposta degrau, o tempo de acomodação mais que dobrou, não obedecendo o requisito de projeto de $t_s = 2\text{ s}$. Calculando o coeficiente de amortecimento ζ a partir do *Overshoot*,

$$\zeta = \frac{-\log\left(\frac{\text{overshoot}}{100}\right)}{\sqrt{\pi^2 + \log^2\left(\frac{\text{overshoot}}{100}\right)}} = \frac{-\log\left(\frac{23.7606}{100}\right)}{\sqrt{\pi^2 + \log^2\left(\frac{23.7606}{100}\right)}} = 0.41599$$

Assim, o requisito de $\zeta = 0.5$ também não é respeitado no novo controlador.

Para obter computacionalmente o erro estacionário, o período anterior ao tempo de acomodação foi ignorado, e foi tomada a média das diferenças entre o sinal da rampa unitária e o sinal de saída do sistema.

```

» time_slice_new = time((step_info_new.SettlingTime/T) : end);
» ramp_slice_new = ramp_output((step_info_new.SettlingTime/T) : end);
» e_ss_new = mean(arrayfun(@(x,y)x - y, time_slice_new, ramp_slice_new.))

```

Assim, o erro estacionário encontrado computacionalmente é $e_{ss} = 0.1216$, próximo ao valor calculado de 0.11899.

Com o novo controlador, o erro estacionário para uma entrada rampa foi diminuído a quase $1/3$ do erro apresentado com o controlador original. Porém, o tempo de resposta aumentou consideravelmente, sendo mais que o dobro do obtido no controlador anterior. O coeficiente de amortecimento obtido também foi mais baixo, resultando em um *overshoot* maior.

O script completo utilizado na simulação é apresentado a seguir:

```
% Parte 1
T = 0.2;
s = tf('s');
z = tf('z', T);
Gp_s = zpk([], [0 -2], [1]);
Gp_z = c2d(Gp_s, T, 'zoh')

zeta = 0.5;
t_s = 2;
j = sqrt(-1);
omega_n = 4/(zeta * t_s)
omega_d = omega_n * sqrt(1 - zeta^2)
mod_z = exp(-zeta * omega_n * T)
angle_z = rad2deg(omega_d * T)
z_dom = mod_z * cosd(angle_z) + j * mod_z * sind(angle_z)

% Root locus e polos dominantes
hold on;
rlocus(Gp_z)
plot(real(z_dom), imag(z_dom), 'r*', real(z_dom), -imag(z_dom), 'r*')
hold off;

% Condição de fase
[Z_dom, P_dom, K_dom] = zpkdata(Gp_z, 'v');
% Generalizar
controller_angle = -180 - (atand(imag(z_dom)/(max(real(z_dom), Z_dom(1)) -
    min(real(z_dom), Z_dom(1)))) - (180 -
    atand(imag(z_dom)/(max(real(z_dom), P_dom(1)) - min(real(z_dom), P_dom(1))))) )

p_c = (imag(z_dom)/tand(controller_angle)) + real(z_dom)
Gc_z = zpk([ P_dom(2) ], [p_c], [1], T)
Gs_z = Gc_z * Gp_z

% Root locus e polos dominantes
hold on;
rlocus(Gs_z, (0:0.01:100))
plot(real(z_dom), imag(z_dom), 'r*', real(z_dom), -imag(z_dom), 'r*')
hold off;

% Encontrando Kc
[Z_sys, P_sys, K_sys] = zpkdata(Gs_z, 'v');
Kc = ( abs(z_dom - P_sys(1)) * abs(z_dom - P_sys(2)) ) / ( K_sys * abs(z_dom -
    Z_sys(2)) )
Gc_z = Kc * Gc_z
Gs_z = Gc_z * Gp_z

% Parte 2
step(feedback(Gs_z, 1))
step_info = stepinfo(feedback(Gs_z, 1))
ts_response = step_info(1).SettlingTime;
zeta_response = (-log(step_info(1).Overshoot/100)/sqrt(pi^2 +
    log(step_info(1).Overshoot/100).^2))

% Parte 3
time = (0:T:10);
```

```

ramp_output = lsim(feedback(Gs_z, 1), time, time);

lsim(feedback(Gs_z, 1), time, time)

% Retira as amostras antes do tempo de acomoda ao
time_slice = time((step_info.SettlingTime/T):end);
ramp_slice = ramp_output((step_info.SettlingTime/T):end);
e_ss = mean(arrayfun(@(x,y) x - y, time_slice, ramp_slice.'))

% C lculo do e_ss
syms z;
[Num_Gs, Den_Gs] = tfdata(Gs_z);
symbolic_Gs_z = vpa(poly2sym(cell2mat(Num_Gs),z)/poly2sym(cell2mat(Den_Gs),z));
z = 0.999999999999; % Poor man's limit
Kv = subs(collect(1/T * (z-1)/z * symbolic_Gs_z))
e_ss_calculated = 1/Kv

% Consertando z
z = tf('z', T);

% Parte 4
Gc2_z = Gc_z * zpke([0.94], [0.98], [1], T)

hold on;
rlocus(Gp_z*Gc2_z)
plot(real(z_dom),imag(z_dom),'r*',real(z_dom),-imag(z_dom),'r*')
hold off;

lsim(feedback(Gp_z*Gc2_z, 1), time, time)

time_longer = (0:T:25);
ramp_output_new = lsim(feedback(Gp_z*Gc2_z, 1), time_longer, time_longer);

step(feedback(Gp_z*Gc2_z, 1))

step_info_new = stepinfo(feedback(Gp_z*Gc2_z, 1))
ts_response_new = step_info_new(1).SettlingTime;
zeta_response_new = (-log(step_info_new(1).Overshoot/100)/sqrt(pi^2 +
    log(step_info_new(1).Overshoot/100).^2))

time_slice_new = time_longer((step_info_new.SettlingTime/T):end);
ramp_slice_new = ramp_output_new((step_info_new.SettlingTime/T):end);
e_ss_new = mean(arrayfun(@(x,y) x - y, time_slice_new, ramp_slice_new.'))

```
